

## پراکنش ویروس موزاییک آرابیس (ArMV) در تاکستان ها و رز کاری های استان های آذربایجان غربی و شرقی

هاجر دوست صدیق<sup>1\*</sup>، فرشاد رخشنده رو<sup>2\*</sup> و مسعود شمس بخش<sup>3</sup>

1- کارشناس ارشد گروه بیماری شناسی گیاهی، دانشکده کشاورزی و منابع طبیعی، واحد علوم و تحقیقات دانشگاه آزاد اسلامی، تهران

2- نویسنده مسؤول: استادیار گروه بیماری شناسی گیاهی، دانشکده کشاورزی و منابع طبیعی، واحد علوم و تحقیقات دانشگاه آزاد اسلامی، تهران (rakhshandehroo\_fa@srbiau.ac.ir)

3- دانشیار گروه بیماری شناسی گیاهی، دانشکده کشاورزی، دانشگاه تربیت مدرس، تهران

تاریخ دریافت: 90/8/11 تاریخ پذیرش: 89/8/4

### چکیده

ویروس موزاییک آرابیس (*Arabis mosaic virus* (ArMV)) متعلق به جنس *Nepovirus* و خانواده *Secoviridae* می باشد. این ویروس با نماتدهای گونه *Xiphinema spp.* منتقل می شود و دارای میزان های طبیعی زیادی از بین گیاهان زینتی و غیر زینتی می باشد. در این تحقیق کوشش بعمل آمد تا میزان پراکندگی ویروس ArMV در تاکستان ها و رز کاری های استان های آذربایجان غربی و شرقی تعیین گردد. به این منظور در طول فصول بهار تا پاییز سال های 1387 و 1388 تعداد 1043 نمونه شامل 251 نمونه برگی رز و 792 نمونه برگی انگور بدون توجه به علایم بیماری به صورت تصادفی از شهرهای مختلف استان های آذربایجان غربی و شرقی جمع آوری شد. برای ردیابی ویروس در نمونه های جمع آوری شده از آزمون های ایمنی سنجی-آنژیمی الیزای مستقیم (DAS-ELISA) و دیبا Dot-Immunobinding Assay (DIBA) استفاده شد. همچنین تائید آلوگی به ویروس در نمونه هایی که در آزمون های سروولوژیک به آنتی سرم ArMV واکنش مثبت نشان داده بودند توسط آزمون RT-PCR و با استفاده از جفت آغازگرهای اختصاصی برای ژن رمز کننده پروتئین پوششی صورت پذیرفت. نتایج حاصل از این بررسی نشان داد که ArMV در مجموع به میزان 30/3% و 46/6% به ترتیب در رز کاری ها و تاکستان های استان آذربایجان شرقی و 30/2% و 42% نیز در رز کاری ها و تاکستان های استان آذربایجان غربی پراکنده شده است. در آزمون RT-PCR قطعات ژنتیکی با اندازه های 440bp و 519 bp مربوط به ژن رمز کننده پروتئین پوششی ویروس از نمونه های آلوگ تکثیر شد. این بررسی به طور جامع میزان پراکندگی ویروس موزاییک آرابیس را در تاکستان ها و رز کاری های استان آذربایجان شرقی نشان داد.

کلید واژه ها: پراکنش، ویروس موزاییک آرابیس (ArMV)

### مقدمه

ایزومتریک با تقارن چند وجهی به قطر 25-27 نانومتر می باشد (15). ویروس موزاییک آرابیس متعلق به خانواده بزرگ ویروس های گیاهی و جنس *Nepovirus* و *Secoviridae* می باشد و دامنه میزانی فوق العاده وسیعی دارد (20).

ویروس موزاییک آرابیس *Arabis mosaic virus* (ArMV) برای نخستین بار از انگلستان در سال 1944 توسط اسمیت و مارخام<sup>1</sup> (21) گزارش شد. این ویروس فاقد غلاف بوده و دارای پیکره

روش های جدید تشخیص مولکولی مانند RT-PCR می باشد. با وجود آنکه مناطق زراعی در نقاط مختلف جهان به میزان زیادی به این ویروس آلوده نمی شوند در مناطقی که ArMV وقوع پیدا می کند، خسارت گسترده ای را به محصولات وارد می کند (10). ArMV در ایران از پراکندگی بالایی برخوردار است (18). این ویروس در ایران از رزکاری های مناطق مختلف تهران گزارش شده و باعث ایجاد موزاییک در گل های سرخ و کاهش ارزش اقتصادی گل های زیستی می شود (18).

همچنین در گذشته این ویروس از گوجه فرنگی و انگور از مناطق مختلف ایران گزارش شده است (13، 17، 18). با توجه به سابقه حضور ویروس موزاییک آراییس در محصولات مختلف در ایران و به دلیل حضور میزبان های ثانویه و ناقلين فعال برای انتقال ویروس در کشور بررسی میزان پراکندگی ویروس ArMV در محصولات زراعی جهت اجرای کنترل موفق ویروس موزاییک موراییس امری لازم و ضروری می باشد (8). همچنین اخیراً از بروز علایم موزاییک، بدشکلی برگ و کاهش تولید میوه در تاکستان ها و نیز کاهش کیفیت گل ها در گلستان های استان های آذربایجان غربی و شرقی گزارش های مختلفی شده است. از این رو در این تحقیق میزان پراکنش ویروس موزاییک آراییس در گل رز در گل کاری ها و در انگور در تاکستان های مناطق مختلف استان های آذربایجان غربی و شرقی مورد بررسی قرار گرفت.

### مواد و روش ها

#### نمونه برداشت جهت تعیین پراکندگی ArMV

در طی فصول بهار تا پاییز سال های 87 و 88 بازدیدهایی از فضاهای سبز، گلخانه ها و تاکستان های شهرستان های مختلف استان های آذربایجان شرقی شامل: مراغه، بناب، ملکان، میانه، عجب

93 گونه گیاهی شامل گیاهان زینتی، درختان میوه هسته دار، انگور، چندرقند، خیار، کاهو، کرفس، تمشک، توت فرنگی، ریواس، رازک و شبدرسفید میزبان ویروس موزاییک آراییس می باشند (15). در بین گیاهان زینتی به رز (Rosa)، زنبق (Gladiolus)، زعفران (Crocus)، میخک (Dianthus)، الستومریا (Alstromeria) و گل نرین (Nerine) را آلوده می کند (19). ویروس از دامنه پراکنش گسترده ای در نواحی شرقی آسیا، آمریکا، آفریقا، استرالیا، روسیه، ترکیه و کانادا برخوردار می باشد (15). این ویروس به سهولت بوسیله بذر، پیوند و نماتد های متعلق به خانواده Longidoridae مانند *G. diversicaudatum*, *Xiphinema index*, *X. americanum* و *X. coxi* منتقل می شود (7). ژنوم ویروس از دو مولکول RNA تک رشته ای مشتب با مجموع طول 13100 نوکلئوتید تشکیل شده است. در گذشته جهت ردیابی ArMV از تکنیک الیزا استفاده شده است که در هر دو حالت مستقیم و غیر مستقیم با دقت بالا ویروس را ردیابی می کند (11 و 23). ویروس موزاییک آراییس دارای روابط سرولوژیکی نزدیکی با سایر نپو ویروس ها از جمله ویروس بادبزنی برگ انگور (*Grapevine fan leaf virus*) (GFLV) می باشد و جداسازی این دو ویروس با استفاده از روش های سرولوژیکی به راحتی امکان پذیر نمی باشد (22، 24 و 25). ویروس ArMV به دلیل تغییرات زیاد ژنومی دارای دامنه میزبانی وسیع می باشد. با وجود این بررسی توالی ژنومی جدایه های مختلف ویروسی در نقاط مختلف جهان نشان داده است که در سطح ژنوم ویروس موزاییک آراییس نواحی حفاظت شده ژنومی وجود دارد که می توان از آنها برای طراحی آغازگرهای اختصاصی با دقت بالا استفاده نمود (7). ArMV در بیشتر میزبان های خود ایجاد آلودگی پنهان می کند و از این رو شناسایی آن نیازمند

انجام پذیرفت. در این آزمون از آنتی بادی های چند همسانه ای کیت تجاری شرکت (Agdia, U.S.A) برای ردیابی ArMV استفاده شد. برای انجام این آزمون از نمونه های برگی جمع آوری شده عصاره گیری با نسبت یک به پنج (یک گرم بافت برگ در پنج میلی لیتر بافر استخراج) در هاون چینی سرد انجام پذیرفت. بافر استخراج در این آزمون حاوی<sup>3</sup> میلی مولار KCL ، 3 میلی مولار NaN<sub>3</sub> ، 1 میلی مولار Na<sub>2</sub>HPO<sub>4</sub> ، 0/13 0/05 مولار NaCl ، درصد روغن 2 درصد PVP-24000 و Tween20 با اسیدیته برابر 7/4 بود. ابتدا چاهک های موجود در بشقابک الیزا با میزان 100 میکرولیتر از آنتی سرم اختصاصی ArMV با رقت 1:200 پوشش دار شدند و در دمای 4 درجه سلسیوس به مدت یک شب نگهداری شدند. پس از شستشو در هر یک از چاهک ها مقدار 100 میکرولیتر از عصاره های گیاهی مورد بررسی ریخته شد و غیر از چاهک های مربوط به نمونه، چاهک هایی نیز به عصاره آلوده مربوط به ویروس (کترل مثبت)، عصاره نمونه سالم (کترل منفی) و بافر عصاره گیری (بلانک) اختصاص داده شدند. بشقابک ها به مدت یک شبانه روز در دمای 4 درجه سلسیوس قرار داده شدند. پس از شستشو، چاهک ها با شیر خشک بدون چربی 5% جهت بلوکه شدن فضاهای خالی درون چاهک در دمای اتاق برای مدت 3 ساعت نگهداری شدند. پس از شستشو به میزان 100 میکرولیتر ایمونو گلوبولین نوع G متصل شده به آنزیم آلکالین فسفاتاز به چاهک ها اضافه و برای مدت 4 ساعت بشقابک ها در دمای 37 درجه سلسیوس قرار داده شدند. پس از شستشو، میزان 100 میکرولیتر از بافر سوبسترا دارای ماده پارانیتروفنیل فسفات<sup>3</sup> به درون هر چاهک ریخته شد و سپس بشقابک ها دور از تابش نور نگهداری شدند

شیر، سراب، کلیر و تبریز و آذربایجان غربی شامل: ماکو، سلماس، ارومیه، مهاباد، بوکان، پیرانشهر و میاندوآب صورت پذیرفت (شکل 1). در مجموع تعداد 1043 نمونه برگی رز و انگور بدون توجه به نوع عالیم و به صورت تصادفی و با حرکت در قطر مزرعه به فاصله هر 1 متر یک نمونه جمع آوری شد. در نمونه هایی که دارای عالیم مشکوک به آلوگی بودند عالیمی مانند پژمردگی و زوال بوته، تغییر سینوس برگ ها، موزاییک و بد شکلی برگ ها، حضور لکه های حلقوی متعددالمرکز بر روی برگ ها در انگور و موزاییک برگ، بدشکلی و لکه های نکروتیک در برگ و گل در روز مشاهده شد. از 1043 نمونه جمع آوری شده دارای عالیم و بدون عالیم تعداد 792 نمونه از انگور (305 نمونه در سال 1387 و 257 نمونه در سال 1388 از استان آذربایجان شرقی)، (64 نمونه در سال 1387 و 166 نمونه در سال 1388 از استان آذربایجان غربی) و همچنین 251 نمونه از رز (92 نمونه در سال 1387 و 63 نمونه در سال 1388 از استان آذربایجان شرقی)، (41 نمونه در سال 1387 و 55 نمونه در سال 1388 از استان آذربایجان غربی) جمع آوری شد.

## آزمون های سرولوژیک جهت ردیابی ArMV

برای ردیابی ArMV در نمونه های رز و انگور جمع آوری شده از آزمون سرولوژیک الیزای مستقیم (DAS-ELISA) به صورت ساندویچ دو طرفه آنتی بادی (DIBA)<sup>1</sup> استفاده شد. همچنین از آزمون دیبا (DIBA) برای تأیید آلوگی در نمونه هایی که DAS-ELISA جذب های پایین را در آزمون نشان دادند استفاده شد. آزمون اینمی سنجی الیزای مستقیم به صورت ساندویچ دو طرفه آنتی بادی مطابق روش کلارک و آدامز<sup>2</sup> (6) با کمی تغییر

1- Dot-Immunobinding assay

2- Clark & Adams



شکل ۱- نقشه استان های آذربایجان شرقی (سمت راست) و آذربایجان غربی (سمت چپ). مناطق مورد نمونه برداری در این تحقیق در نقشه ها با پیکان مشخص شده اند.

چربی ۵٪ استفاده شد. همچنین برای واکنش رنگزایی از مواد شیمیایی رنگزا NBT و BCIP استفاده شد. حضور لکه های آبی رنگ در سطح غشاء به عنوان نمونه آلوده به ویروس در نظر گرفته شدند و حضور لکه ها تا ۴۰ دقیقه پس از اضافه نمودن سوبسترا در دمای اتاق مورد بررسی قرار گرفت. در این آزمون از عصاره گیاه سالم و آلوده به عنوان شاهد های منفی و مثبت استفاده شد.

#### ردیابی مولکولی ویروس با استفاده از آزمون RT-PCR

برای تکثیر بخشی از ژنوم ویروس در نمونه های رز و انگور از آزمون RT-PCR برای تعداد ۱۵ نمونه از گیاهانی که توسط آزمون های سرولوژیک مثبت شناخته شده بودند استفاده شد. برای این منظور عصاره گیاهان رز و انگور آلوده برای ایجاد غلظت مناسب ویروس در گیاه محک خیار به برگ های آن در گلخانه مایه زنی شدند. ده روز پس از مایه زنی، آران.ای کل از ۰/۳ گرم از بافت برگ های جوان خیار با استفاده از بافر کلرید لیتیم (LiCl ۰/۱ مولار Tris-HCl ۰/۱ مولار)

و هر نیم ساعت یکبار بروز واکنش رنگ زایی و حضور رنگ زرد با دستگاه الیزا خوان مدل ELX (800-Biotek) در طول موج ۴۰۵ نانومتر مورد بررسی قرار گرفتند. نمونه هایی که مقدار عددی جذب آن ها از ۳ برابر میانگین جذب چاهک های مربوط به شاهد سالم بیشتر بود به عنوان نمونه های مثبت و آلوده به ویروس در نظر گرفته شدند.

از آزمون سرولوژیک DIBA برای تأیید نتایج آزمون DAS-ELISA برای تعداد ۳۰ نمونه گیاهی آلوده به ArMV استفاده شد. برای این منظور نمونه هایی که در آزمون الیزا مستقیم واکنش رنگ زایی ضعیفی داشتند برای تأیید حضور ویروس در آنها مورد آزمون DIBA مطابق روش اجرا شده توسط باتناری و گودوین<sup>۱</sup> (4) قرار گرفتند. برای این منظور از آنتی بادی چند همسانه ای تهیه شده از منظور ۱/250 و شرکت (Agdia, U.S.A. Inc) با رقت Goat Anti-Rabbit (GAR) همچنین آنتی بادی (GAR) با رقت ۱/10000 استفاده شد. جهت بلوکه نمودن غشاء نیتروسلولزی از محلول شیر خشک بدون

(8/4) اسیدیته 500 mM KCl, Tris-HCl) 0/2 میلی مولار دزوکسی نوکلئوتید تری فسفات 0/2 (dNTPs)، 2/5 میکرو لیتر از cDNA و 3 واحد آنزیم پلی مراز (Taq Polymerase) (سیناژن، ایران) و در دستگاه ترموسایکلر (Eppendorf, AG, Germany) انجام شد. واسرشته سازی اولیه در دمای 94 درجه سلسیوس به مدت دو دقیقه صورت گرفت. سپس 35 چرخه شامل واسرشته سازی DNA ژنومی در دمای 94 درجه سلسیوس، به مدت 30 ثانیه؛ اتصال آغازگرها به رشته‌ی الگو در دمای 52 درجه سلسیوس، به مدت 45 ثانیه؛ گسترش رشته‌ی جدید در دمای 72 درجه سلسیوس به مدت 60 ثانیه انجام شد و در پایان گسترش نهایی در دمای 72 درجه سلسیوس به مدت ده دقیقه انجام شد.

**بررسی دامنه میزانی و خصوصیات بیولوژیکی ویروس در گلخانه: ویژگی های بیولوژیکی ArMV در گلخانه جهت تأیید آلودگی نمونه ها به ArMV علاوه بر آزمون های الیزا و RT-PCR انجام پذیرفت. برای این منظور نمونه هایی که برای آلودگی به ویروس مثبت تشخیص داده شدند به صورت مکانیکی با استفاده از بافر فسفات پتاسیم ( $K_2HPO_4$ ) و  $K_2HPO_4$ ، 0/1 مولار با pH 7/1 دارای 15٪ از ماده 2- مولار با 7/1 مرکاپتو اتانول به صورت مکانیکی بر روی گیاهان *Chenopodium* محک شامل سلمک (*Nicotiana amaranticolor*)، توتون (*Vigna glutinosa*)، لوییا چشم بلبلی (*Cucumis sativus unguiculata*) و خیار (*Cucumis sativus*) در مرحله 2 تا 4 برگی مایه زنی شدند. علایم 10 روز پس از مایه زنی با ویروس یادداشت برداری شدند. مایه زنی ها در 2 تکرار انجام پذیرفت. به منظور اطمینان از آلوده بودن گیاهان محک، آزمون الیزا هفت روز پس از مایه زنی مجدد انجام پذیرفت. همچنین برای گیاهانی که علایم مشخصی را نشان**

اسیدیته 0/01 مولار EDTA با اسیدیته 1 درصد SDS، 5٪ ماده PVP-24000 و 2 درصد (Na2SO3) مطابق روش چوناپیپات و همکاران<sup>1</sup> (cDNA) استخراج شد. فرایند سنتز مکمل DNA با استفاده از آنزیم نسخه بردار معکوس (M-MuLV) و مطابق دستورالعمل کیت تجاری شرکت Fermentas آلمان و با استفاده از آغازگرهای برگشتی (Reverse Primer) (جدول ArMV) اختصاصی برای ژن پروتئین پوششی (1) انجام پذیرفت. برای این منظور میزان 5 ماکرو گرم از آران ای کل استخراج شده به همراه 1 ماکرومولار آغازگر برگشتی در حجم 11 ماکرو لیتر مخلوط واکنش برای مدت 5 دقیقه در دمای 70 درجه سلسیوس حرارت داده شد. سپس به میزان 2 میلی مولار PCR 4dNTP Mix، 4 ماکرو لیتر 5X Reaction Buffer، 20 واحد آنزیم Ribonuclease inhibitor نسخه بردار معکوس M-MuLV به مخلوط واکنش اضافه و برای مدت یک ساعت در دمای 42 درجه سلسیوس قرار داد شد. مخلوط واکنش برای توقف فعالیت آنزیم برای مدت 5 دقیقه در 70 درجه سلسیوس قرار داده شد. واکنش زنجیره ای پلیمراز (PCR) با استفاده از 2 μL از cDNA و در حضور آغازگرهای اختصاصی (جدول 1) انجام پذیرفت. آغازگرهای مورد استفاده برای جدایه اروپایی با شماره ثبت موجود در بانک ژن جهانی (X55460.1) در گذشته طراحی شده بودند. محصولات حاصل از تکثیر PCR برای بررسی اندازه و کیفیت در ژل آگاروز 1٪ با شدت جریان 25 میلی آمپر به مدت 45 دقیقه آنالیز شدند.

PCR در حجم 25 میکرو لیتر و غلظت نهایی 10 پیکومول از هر آغازگر، 1/5 میلی مولار کلرید منیزیم ( $MgCl_2$ )، 2 میکرو لیتر بافر واکنش 10x

دوست صدیق و همکاران: پراکنش ویروس موزاییک آریس...

پس از ردیابی آلودگی در نمونه های دارای عالیم آلوده به ArMV مشخص شد عالیمی مانند: کلروز و نکروز در فواصل بین رگبرگ ها در برگ، تغییر در سینوس در برگ ها، زردی عمومی و همچنین موزاییک در رز (شکل 2 الف تا د) مرتبط با آلودگی

ندادند مایه زنی برگشتی (Back Inoculation) انجام پذیرفت.

### نتایج و بحث خصوصیات بیولوژیکی ArMV

جدول 1- مشخصات آغازگرهای مورد استفاده برای تکثیر پرتوئین پوششی ویروس ArMV

آغازگرها	آغازگر	نام	تکثیر مورد	قطعه ادامه
آغازگرها	آغازگر	نام	تکثیر مورد	قطعه ادامه
(12)	۵۱۹ bp	5'-CAGCGGATTGGGAGTCGT-3'	ArMV-F (H1124)	توالی ۱۱۲۴ تا
		5'-TTGGCCCCAG ATATAGCGTAA-3'	ArMV-R (C1642)	1642
(16)	۴۴۰ bp	5'-GC GGCGGATTGGGAGTT-3'	ArMV- (H428)	توالی ۴۲۸ تا
		5'-CGATGGTAGGGGGAGCGTATT-3'	ArMV- (C867)	867



شکل 2- عالیم حاصل از آلودگی ArMV در برگ نمونه های مختلف رز و انگور (الف) عالیم کلروز و نکروز در فواصل بین رگبرگ ها در برگ انگور رقم دست ارجین ارومیه، (ب) تغییر سینوس برگ ها در برگ انگور رقم کشمکشی، (ج) زردی برگ ها در انگور رقم حسینی، (د) موزاییک برگ ها در گیاه رز آلوده به ویروس.

## ردیابی ArMV با استفاده از آزمون RT-PCR

با انجام آزمون PCR ، ArMV از بافت های برگی گیاه رز و گیاهان محک مایه زنی شده تا 10 روز پس از مایه زنی و همزمان با بروز علایم به راحتی قابل ردیابی بود. در حالی که با استفاده از این آزمون ویروس از بافت برگی گیاه انگور به طور مستقیم قابل ردیابی نبود. دلیل آن می تواند حضور ترکیبات فنلی و پلی ساکاریدهای گیاهی مهار کننده واکنش PCR باشد. با استفاده از آغازگرهای اختصاصی که برای مناطق ژنتیکی مختلف از توالی مربوط به ژن رمز کننده پروتئین پوششی طراحی شده بود (جدول 1) قطعاتی با اندازه های 519 bp و 440 bp در نمونه های آلوده به ArMV توسط آغازگرهای اختصاصی تکثیر شد (شکل 4). با وجود حساسیتی که آزمون RT-PCR برای ردیابی ویروس دارد ولی در برخی موارد مشاهده شد نمونه هایی که در آزمون های سرولوژیک برای آلودگی ArMV مثبت بودند حتی پس از مایه زنی بر روی گیاهان محک در آزمون RT-PCR با آغازگر اختصاصی قابل ردیابی نبودند.

ArMV می باشد. علایمی که تا 10 روز پس از مایه زنی ویروس در گیاهان محک نمایان شد با علایم گزارش شده قبلی (15) برای ویروس مطابقت داشت (جدول 2). جدایه های ArMV که از میزان های رز و انگور جدا شده بودند علایمی یکسانی در گیاهان محک ایجاد نمودند. تنها شدت علایم در گیاه محک خیار برای جدایه های رز بسیار شدیدتر از جدایه های انگور بود (شکل 3).

## تشخیص و ردیابی ArMV از نمونه های آلوده با استفاده از آزمون های سرولوژیکی

ویروس موzaïek آراییس به راحتی توسط سرم تجاری شرکت Agdia و با آزمون الیزای مستقیم قابل ردیابی بود. اما به دلیل توان ایمنی زائی کم ویروس گاهاً مشاهده می شد نمونه هایی با علایم ویروسی جذب های پایینی را در آزمون الیزای مستقیم نشان می دادند و یا به دلیل اثر زمینه ای در برخی موارد نتایج آنها با ابهام رو به رو می شد. از این رو از آزمون دیبا در تأیید نتایج آزمون الیزای مستقیم استفاده شد. تمامی نمونه هایی که از میزان جذب پایین در آزمون DAS-ELISA برخوردار بودند با بروز باندهای آبی رنگ بر روی غشاء نیتروسلولزی در آزمون دیبا با دقت بالا آلوده به ویروس تشخیص داده شدند.

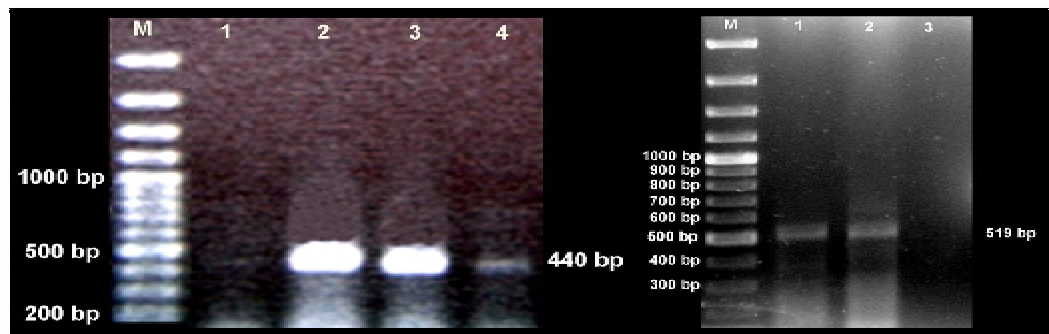
**جدول 2- خصوصیات بیولوژیکی ویروس موzaïek آراییس بر روی گیاهان محک علفی**

علایم	گیاه محک
(Ll) , (Mo)	<i>Chenopodium quinoa</i>
(M) , (Lm) , (Ch), (ScII)	<i>Cucumis sativus</i>
(Crs) , (Lm)	<i>Nicotiana glutinosa</i>
(Ch) , (Ll)	<i>Vigna unguiculata</i>

Ch: Chlorosis ; Crs: Chlorotic ringspot; Ll: Local lesion ; Lm: Leaf malformation ; M: Mosaic ; Mo: Mottling, ScII: Systemic chlorotic local lesion



شکل ۳- کلروز سیستمیک در برگ های خیار برای جدایه های رز (الف) و انگور (ب)



شکل ۴- تکثیر مولکولی ArMV با استفاده از آغازگرهای اختصاصی توسط آزمون RT-PCR. شکل (الف) قطعه تکثیر شده از پروتئین پوششی باندازه 519 جفت باز با استفاده از جفت آغازگر طراحی شده توسط مک کنی و همکاران<sup>1</sup> (12). ۱: نمونه رز، ۲: نمونه انگور و ۳: نمونه گیاه عاری از ویروس. ب) تکثیر قطعه 440 جفت بازی از پروتئین پوششی ArMV با آغازگرهای اختصاصی طراحی شده توسط توسعه و همکاران<sup>2</sup> (16) ۱: نمونه گیاه عاری از ویروس، ۲: نمونه گیاه رز، ۳ و ۴: نمونه های انگور. M: مارکر وزن مولکولی DNA با اندازه ۱ کیلوجفت باز (Germany. Fermentas. Inc)

1- Makenzie *et al.*  
2 - Nassuth *et al.*

از پراکندگی بیشتری در استان های مورد نمونه برداری برخوردار بود (جدول 3). همچنین مشخص شد در سال های 87 و 88 در بین شهرهای مورد بررسی ArMV توانسته است به بیشترین میزان در تاکستان ها و رز کاری های شهرهای ملکان از استان آذربایجان شرقی و ارومیه از استان آذربایجان غربی پراکنده شود (جدول 4 و 5). در این بررسی میزان پراکندگی ArMV در ارقام مختلف انگور مورد بررسی قرار گرفت. نتایج حاصل از این بررسی نشان داد ویروس به بیشترین میزان در رقم حسینی در مقایسه با سایر ارقام پراکنده شده است و در مقابل در ارقام انگور شیرازی سیاه و سفید Black Lal و White Alhaghi (Alhaghi) ویروس قابل ردیابی نبود (جدول 6).

**میزان پراکندگی ArMV در تاکستان های استان های آذربایجان غربی و شرقی:** نتایج این بررسی نشان داد ArMV در مجموع به میزان 42% در انگور کاری ها و 30/2% در گل های رز هر دو استان مورد بررسی پراکنده بود (جدول 3). همچنین مشخص شد که ویروس مذکور در طول سال های 87 و 88 به بیشترین میزان (46/6%) در تاکستان های استان آذربایجان شرقی پراکنده شده است و تاکستان های استان آذربایجان غربی، رز کاری های استان آذربایجان شرقی و رز کاری های آذربایجان غربی با درصدهای پراکنده های 30/3% و 30/8% از نظر میزان آلودگی به ArMV به ترتیب در جایگاه های بعدی قرار داشتند (جدول 3). همانطور که نتایج نشان داد ArMV در نمونه های جمع آوری شده در سال 1388 نسبت به سال 1387

**جدول 3- درصد پراکندگی ArMV در میزان های رز و انگور در استان های آذربایجان غربی و شرقی در سال های 1387 و 1388**

استان آذربایجان غربی				استان آذربایجان شرقی			
انگور	رز	انگور	رز				
1388	1387	1388	1387	1388	1387	1388	1387
166	64	55	41	257	305	63	92
63	8	23	6	75	187	41	6
%37/9	%12/5	%41/8	%14/6	%29/1	%61/3	%65	%6/5
%30/8		%30/2		%46/6		%30/3	
				درصد کل آلودگی در طی 2 سال			

دوست صدیق و همکاران: پر اکنش ویروس موزاییک آریس ...

**جدول 4- درصد پراکندگی ArMV در شهرهای مختلف استان های آذربایجان غربی و شرقی**  
در سال 1387

آذربایجان غربی		آذربایجان شرقی		نام استان	
سلماس	پیراشهر	سلماس	پیراشهر	آذربایجان شرقی	نام شهر
%7/14	%22/73	%40/35	%5/95	%21/42	درصد آلودگی
0	0	0	0	0	درصد آلودگی

**جدول 5- درصد پراکندگی ویروس ArMV در شهرهای مختلف استان های آذربایجان غربی و شرقی**  
در سال 1388

آذربایجان غربی		آذربایجان شرقی		نام استان	
سلماس	پیراشهر	سلماس	پیراشهر	آذربایجان شرقی	نام شهر
0	0	0	0	0	درصد آلودگی
0	0	0	0	0	درصد آلودگی

**جدول 6- درصد آلودگی به ArMV در ارقام انگور موجود در مناطق مورد نمونه برداشتی**

ارقام انگور	تعداد نمونه جمع آوری شده	تعداد نمونه آلوده به ویروس	درصد آلودگی
Maleki	18	5	%27/77
Dast Archine Urumieh	18	9	% 50
Garmiane Maragheh	32	16	%50
Dash Gara	20	2	% 10
Khalili	16	2	% 12/5
Hoseini (Galin Barmaghi)	30	22	% 73/33
White Unseed Keshmesh	23	5	% 21/73
Black Unseed Keshmesh	20	3	% 15
White Sahebi	16	5	% 31/25
Black Sahebi	18	2	% 11/11
White Shahani	22	2	% 9/09
Dark Red Shahani	22	2	% 9/09
Asgari	18	9	% 50
Unseed Lal	45	1	% 2/22
White Alhaghi	6	0	0
Black Lal	4	0	0
White Shirazi	4	0	0
Black Shirazi	8	0	0
Gizil Uzum	30	19	% 63/33
Fakhri	18	2	% 11/11
Razeghi	16	1	% 6/25
White Peikani (Rish Baba)	17	7	% 41/17
Red Peikani (Rish Baba)	15	6	% 40

ارقام انگور	تعداد نمونه جمع آوری شده	تعداد نمونه آلوده به ویروس	درصد آلودگی
Sighil Solian	18	2	% 11/11
Abi Bablu	22	2	% 9/09
Sargula	20	6	% 30
Jighjigha	22	2	% 9/09
Sachakh	17	7	% 41/17
Mambrima	21	1	% 4/76
At Uzum	19	3	% 15/78
Agh Mahli	18	3	% 16/66
Gara Mahli	45	1	% 2/22
Agh Shani	22	12	% 54/54
Anj Amji	20	4	% 20
Kalani	17	7	% 41/17
Bolmazi	18	9	% 50
Iaghotti	16	1	% 6/25
White Shakh Shakh	25	1	% 4
Gara Gandoma	16	1	% 6/25
Kalak Riavi	20	2	% 10

پذیرفت. همچنین از آنجایی که ArMV از دامنه میزانی گستردۀ ای در بین گیاهان زیستی برخوردار می باشد میزان پراکندگی ویروس در بین گل های رز در گلستان های هر دو استان مورد بررسی قرار گرفت.

در این بررسی میزان متوسط آلودگی به ArMV در بیشتر تاکستان ها و گل کاری های استان های مورد تحقیق  $\frac{44}{3}$  % تعیین شد (جدول 3). در طی تحقیقی که در سال 1381 در مورد پراکندگی

استان های آذربایجان غربی با در اختیار داشتن 7/4 % و آذربایجان شرقی با  $\frac{5}{9}$  % از کل تولید انگور بارور کشور در سال 1387 در رتبه های 3 و 5 تولید انگور کشور قرار داشته اند و از این رو به عنوان عمدۀ مناطق کشت و تولید انگور در کشور محسوب می شوند (1). در این پژوهش برای نخستین بار تحقیقی جامع در زمینه میزان پراکندگی ArMV در تاکستان های موجود در شهرهای مختلف استان های آذربایجان غربی و شرقی انجام

نشان داده بود که ArMV به میزان 8% در گلستان های شهرهای مختلف استان تهران در گل رز پراکنده شده است (18). نتایج این بررسی نشان داد ویروس به میزان 30% در رز کاری های استان های آذربایجان غربی و شرقی پراکنده شده است که این میزان چیزی حدود 1/5 برابر بیشتر از استان تهران می باشد. شاید دلیل این افزایش میزان آلودگی در استان های مورد نمونه برداری آب و هوای سرد تر و حضور ناقلين موثر و احتمالاً میزان های متعدد در مناطق مورد بررسی در مقایسه با تهران باشد. در گذشته اثبات شده بود که ناقلين موثر در انتقال ویروس در کشور وجود دارند (9) و (14). ناقلين نماتود ویروس ArMV بیشتر در خاک های رسوی و فشرده حضور دارند (2). شاید بتوان دلیل درصد بالای آلودگی ArMV در شهر ارومیه (جداول 4 و 5) را حضور نماتودهای ناقل به میزان زیاد در خاک رسوی و فشرده حاشیه دریاچه ارومیه دانست. همچنین عدم مبارزه با عوامل بیماریزای ویروسی و اجرای کشاورزی سنتی و استفاده از اندام های تکثیری آلوده می تواند موجب پراکنده ای زیاد ویروس در مناطق مورد بررسی شده باشد. در هر صورت روند رو به افزایشی در میزان پراکنده ای ArMV در فاصله سال های 87 تا 88 در هر دو میزان رز و انگور در استان های آذربایجان دیده می شود که نشان دهنده انتقال موثر و سریع توسط عوامل انتقال دهنده می باشد (جداول 4 و 5). همچنین نتایج این بررسی نشان داد که ArMV در میزان انگور در مقایسه با گیاه رز از پراکنده ای بیشتری برخوردار می باشد (جدول 3). این امر می تواند احتمالاً به دلیل حضور قدیمی و سازگار تر ویروس با میزان انگور باشد. لازم می باشد تا در آینده برآورده دقيق از میزان خساراتی که ویروس در هر دو میزان وارد می آورد انجام پذيرد. همچنین لازم هست تا توالی های نوکلئوتیدی استرین های موجود در مناطق مورد نمونه برداری در این تحقیق مورد بررسی قرار گیرد تا بتوان در مورد میزان حساسیت میزان های مورد اشاره و نیز سازگاری میزان به ویروس و مباحث احتمالی در مورد سابقه حضور ویروس در میزان های رز و انگور به راحتی قضاوت نمود. نتایج حاصل از بررسی های گذشته

انجام پذیرد. ایران به عنوان یکی از کشورهای مطرح در تولید محصول انگور در جهان محسوب می شود و از آنجائی که محصولات آن به سایر کشورها صادر می شود و با توجه به آنکه بیشتر عوامل ویروسی بیماریزا در انگور از طریق اندام های تکثیری پایه های آلوده انتقال می یابند لذا ضروری می باشد تا وضعیت آلدگی این محصول به عوامل بیماریزا مشخص گردد (3). تعیین وضعیت پراکندگی عوامل بیماریزا ویروسی در جهت کنترل آن ها برای جلوگیری از احتمال برخورد با قوانین سخت گیرانه پست های قرنطینه ای در سایر کشورها برای محصولاتی مانند انگور و گیاهان زیستی که در صادرات ارزشمند می باشند امری لازم و ضروری می باشد.

### سپاسگزاری

نویسندها مقاله مراتب تشکر و سپاس خود را از همکاری صمیمانه جناب آقای دکتر حمیدرضا زمانی زاده مدیر محترم گروه تخصصی بیماری شناسی گیاهی واحد علوم و تحقیقات تهران در این پژوهش ابراز می دارند.

ویروس که از شهرهای مختلف استان جمع آوری شده بودند عالیم مشابه ای را در میزبان های محک از خود نشان دادند (جدول 2). تنها جدایه های موجود در میزبان رز از شدت عالیم بیشتری در گیاه خیار در مقایسه با جدایه های انگور برخوردار بودند. این امر می تواند به دلیل تاثیر تنوع میزبان در تنوع ژنتیکی در استرین های ویروس باشد و احتمالاً تغییر جغرافیایی تاثیری در تنوع ژنتیکی ویروس نداشته است. اثبات این نظریه نیاز به تحقیقات بیشتر و آنالیزهای ژنتیکی وابسته به استرین های ویروس در ایران دارد که توسط محققین این پژوهش در حال انجام می باشد. همچنین نتایج این پژوهش نشان داد که ArMV در انگور رقم حسینی از پراکندگی بیشتری در مقایسه با سایر ارقام برخوردار می باشد اما در ارقام انگور شیرازی سیاه و سفید (White Alhaghi و Black Lal) ویروس ردیابی نشد (جدول 6). توصیه می شود تا منابع مقاومت به ویروس موزاییک آرایس انگور در ارقام اخیر و امکان استفاده از آنها در برنامه های مدیریتی و کنترل بیماری در تاکستان ها مورد بررسی قرار گیرد و پژوهش های مشابه برای سایر محصولات

### منابع

1. بی نام. 1389. نتایج طرح آمارگیری نمونه ای محصولات باگی 1387. دفتر آمار و فناوری اطلاعات وزارت جهاد کشاورزی تهران. جلد 1، 95 ص.
2. Allen, W.R., Stobbs, L.W., and Vanschagen, J.G. 1988. Association of *Xiphinema* species with soil type and grapevines infected with tomato ring spot virus in Ontario of Canada. Plant Disease, 72: 861-863.
3. Anonymous, 1992. *Arabis mosaic nepovirus*. In Smith, I.M., McNamara, D.G., Scott, P.R., Harris, K.M., (eds.) Quarantine pests for Europe. CAB International, Wallingford, UK., pp: 1-5.
4. Bantari, E.E, and Goodwin, P.H. 1985. Detection of *Potato virus X* and *Y* by enzyme-linked immunosorbent assay on nitrocellulose membranes (Dot-ELISA). Plant Disease, 69: 202-205.

5. Channuntapipat, C., Sedgley, M., and Collins, G. 2001. Sequences of the cDNA<sub>s</sub> and genomic DNA<sub>s</sub> encoding the S1, S7, S8 and Sf alleles from almond, *Prunus dulcis*. Theoretical and Applied Genetics, 103: 1115-1122.
6. Clark, M.F., and Adams, A.N. 1977. Characterization of the microplate methods of enzyme linked immunosorbent assay (ELISA) for the detection of plant viruses. Journal of General Virology, 34: 475-483.
7. Digiaro, M., Elbeaino, T., and Martelli, G.P. 2006. Development of degenerate and species – specific primers for the differential and simultaneous RT-PCR detection of grapevine – infecting nepoviruses of subgroups A , B and C. Journal of Virological Methods, 141: 34 -40 .
8. Fadaei, A.A., and Kheiri, A. 2003. Three species of the *Xiphinema americanum* lineage (Nematoda : Longidoridae) from Iran. Nematology, 5: 453-461.
9. Izadpanah, K., Zaki-Aghl, M., Zhang, Y.D., Daubert, S.P., and Rowhani. A. 2003. Bermuda grass as a potential reservoir host for *grapevine fanleaf virus*. Plant Disease, 87 : 1179-1182 .
10. Jones, A.T., Mitchell, M.J., and Brown, D.J.F. 1989. Infectibility of some new raspberry cultivars with *Arabis mosaic virus* and further evidence for variation in British isolates of this *Nepovirus*. Annals of Applied Biology, 113: 483-491.
11. Loudes, A. M., Ritzenthaler, C., Pinck, M., Serghini, M. A., and Pinck, L. 1995 . The 119 KDA and 124 Kda polyproteins of *Arabis mosaic Nepovirus* (isolates) are encoded by two distinct RNA-2 species. Journal of General Virology, 76: 899-906 .
12. Mackenzie, D.J., Mclean, M.A., Mukerji, S., and Green, M. 1997. Improved RNA extraction from woody plants for the detection of viral pathogens by reverse transcription-polymerase chain reaction. Plant Disease. 81: 222-226.
13. Massumi, H., Shaabanian, M., Hosseini Pour, A., Heydarnejad, J., and Rahimian, H. 2009. Incidence of viruses infecting tomato and their natural hosts in the southeast and central regions of Iran. Plant Disease, 93: 67-72.
14. Mojtahedi, H., Sturhan, D., Akhiani, A., and Barooti, S. 1980. *Xiphinema* species in Iranian vineyards. Nematology of Mediterranean, 8: 165-170.
15. Murant, A.F. 1970. *Arabis mosaic virus* . CMI/AAB Descriptions of plant viruses No. 16. Association of Applied Biologists, Wellesbourne, UK.
16. Nassuth, A., Pollari, E., Helmezy, K., Stevart, S., and Kolfavi, S.A. 2000. Improved RNA extraction and one-tube RT-PCR assay for simultaneous detection of control plant RNA plus several viruses in plant extract. Journal of Virological Methods, 13: 37-49.
17. Rakhshandehroo, F., Pourrahim, R., Zamanizadeh, H., Rezaee, S., and Mohammadi, M. 2005. Incidence and distribution of viruses Infecting Iranian vineyards. Journal of Phytopathology, 153: 480- 484.

18. Rakhshandehroo, F., Zamanizadeh, H., Modarresi, A., and Hajmansour, SH. 2006. Occurrence of *Prunus necrotic ring spot virus* and *Arabis mosaic virus* on Rose in Iran. Plant Disease, 90: 975-976.
19. Samuitiene, M. 2008. *Arabis mosaic virus* on ornamental plants. Biologic, 32: 264-268.
20. Sanfacon, H., Wellink, J., LeGall, O., Karasev, A., Van Der Vlugt, R., and Wetzel, T. 2009. Secoviridae: a proposed family of plant viruses within the order Picornavirales that combines the families Sequiviridae and Comoviridae, the unassigned genera Cheravirus and Sadwavirus, and the proposed genus Torradovirus. Archives of Virology, 154: 899-907.
21. Smith, K.M., and Markham, R. 1944. Two new viruses affecting tobacco and other plants. Phytopathology, 34: 324-329.
22. Steinkellner, H., Weinhausl, A., Laimer, M., Camara Machado, A., and Katinger, H. 1991. Identification of the coat protein gene of *Arabis mosaic Nepovirus* and its expression in transgenic plants. Acta Horticulture, 308: 37-41.
23. Walter, B., Vuittenez, A., Kuszala, J., Stocky, G., and Burckard, A. 1984. Serological detection of grapevine court-noue viruses by the ELISA test. Agronomie, 4: 527-534.
24. Wetzel, T., Fuehs, M., and Kreuzal, G. 2001. Size and sequence variability of the *Arabis mosaic virus* protein 2A. Journal of General Virology, 147: 1643-1653.
25. Wetzel, T., Jardak, R., Meunier, T., Ghorbel, A., and Kraczal, G. 2000. Simultaneous RT-PCR detection and differentiation of *Arabis mosaic* and *grapevine fanleaf nepoviruses* in grapevines with a single pair of primer. Journal of Virological Methods, 101: 63-69.